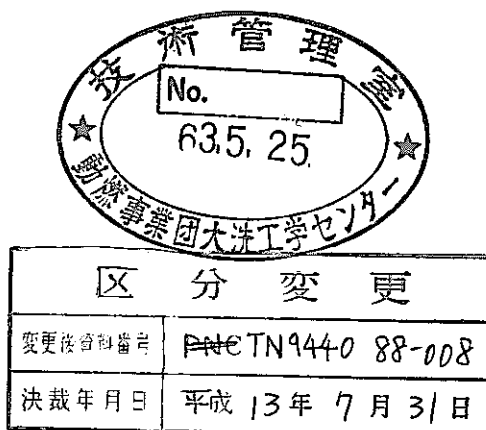


高速実験炉「常陽」主冷却器運転特性

ベーン開度による主冷却器伝熱特性の評価



1988年3月

技術資料コード	
開示区分	レポートNo.
	I9440 88-001
この資料は 図書室保存資料です 閲覧には技術資料閲覧票が必要です	
動力炉・核燃料開発事業団大洗工学センター技術管理室	

動力炉・核燃料開発事業団
 大洗工学センター
 実験炉部

本資料の全部または一部を複写・複製・転載する場合は、下記にお問い合わせください。

〒319-1184 茨城県那珂郡東海村大字村松4番地49
核燃料サイクル開発機構
技術展開部 技術協力課

Inquiries about copyright and reproduction should be addressed to:
Technical Cooperation Section,
Technology Management Division,
Japan Nuclear Cycle Development Institute
4-49 Muramatsu, Tokai-mura, Naka-gun, Ibaraki, 319-1184
Japan

© 核燃料サイクル開発機構 (Japan Nuclear Cycle Development Institute)

外

内 部 資 料
PNC #9440 88-001008
1988年3月



高速実験炉「常陽」主冷却器運転特性 ペーン開度による主冷却器伝熱特性の評価

高津戸裕司* 田村誠司**

要 旨

本報告書は、第6回定検時に行なった主冷却器伝熱管外面の掃除による伝熱特性の変化を、プラント運転特性より評価したものである。

主冷却器熱伝達モデルを構築し、そのモデル式に掃除前後のプラント運転データを使って多重回帰分析を行なった。その結果より最大除熱量及び主冷却器熱通過率を求め、掃除効果を比較した。

今回の評価により、Aループでは、掃除後熱通過率が1A主冷却器で約19%、2Aで約4.2%上昇した。これに対しBループでは、掃除効果がAループより小さかった。これは、主送風機入口空気温度と解析に使用した外気温度との時間遅れによる誤差の影響が大きく、解析精度の低下をまねいたものと思われる。第6回定検以降、プラント運転特性データに、主送風機室室温が追加されたので今後の解析ではその精度がさらに向上すると思われる。

今回の評価の結果、主冷却器伝熱特性の変化を回帰分析法で評価できることが明らかとなった。

* 大洗工学センタ 実験炉部 原子炉第一課
* 1日立製作所エネルギー研究所

目 次

1. 緒 言	1
2. 解析・評価の方法	2
2.1 解析・評価の概要	2
2.2 主冷却器内熱伝達モデルの算出とその適用	4
2.3 ベーン開度と風量の関係	9
2.4 熱出力補正	11
2.5 主冷却器伝熱特性解析プログラム	14
2.6 データベース	14
3. 解析・評価の結果	15
3.1 解析結果	15
3.2 解析結果の評価	20
4. 結 言	24
5. 参考資料	25
付録1. 主冷却器伝熱特性評価プログラム	26
付録2. データベース	29

図面リスト

第1図	解析・評価の概要	3
第2図	2次主冷却系概略図	7
第3図	主送風機入口ペーン開度 - 空気体積流量曲線	10
第4図	主冷却器内風量 - 主送風機入口ペーン開度曲線	10
第5図	J O Y D A S 炉心熱出力と熱出力測定システム炉心熱出力との関係	12
第6図	1A主送風機ペーン開度曲線	16
第7図	2A主送風機ペーン開度曲線	17
第8図	1B主送風機ペーン開度曲線	18
第9図	2B主送風機ペーン開度曲線	19
第10図	外気温度の比較	23

表リスト

第1表	主冷却器内伝熱モデル構築に使用した記号	8
第2表	熱出力測定システム 100MW時の J O Y D A S 炉心熱出力、 2次系除熱量の比較	13
第3表	主冷却器伝熱管外面掃除効果の比較	21

1. 緒 言

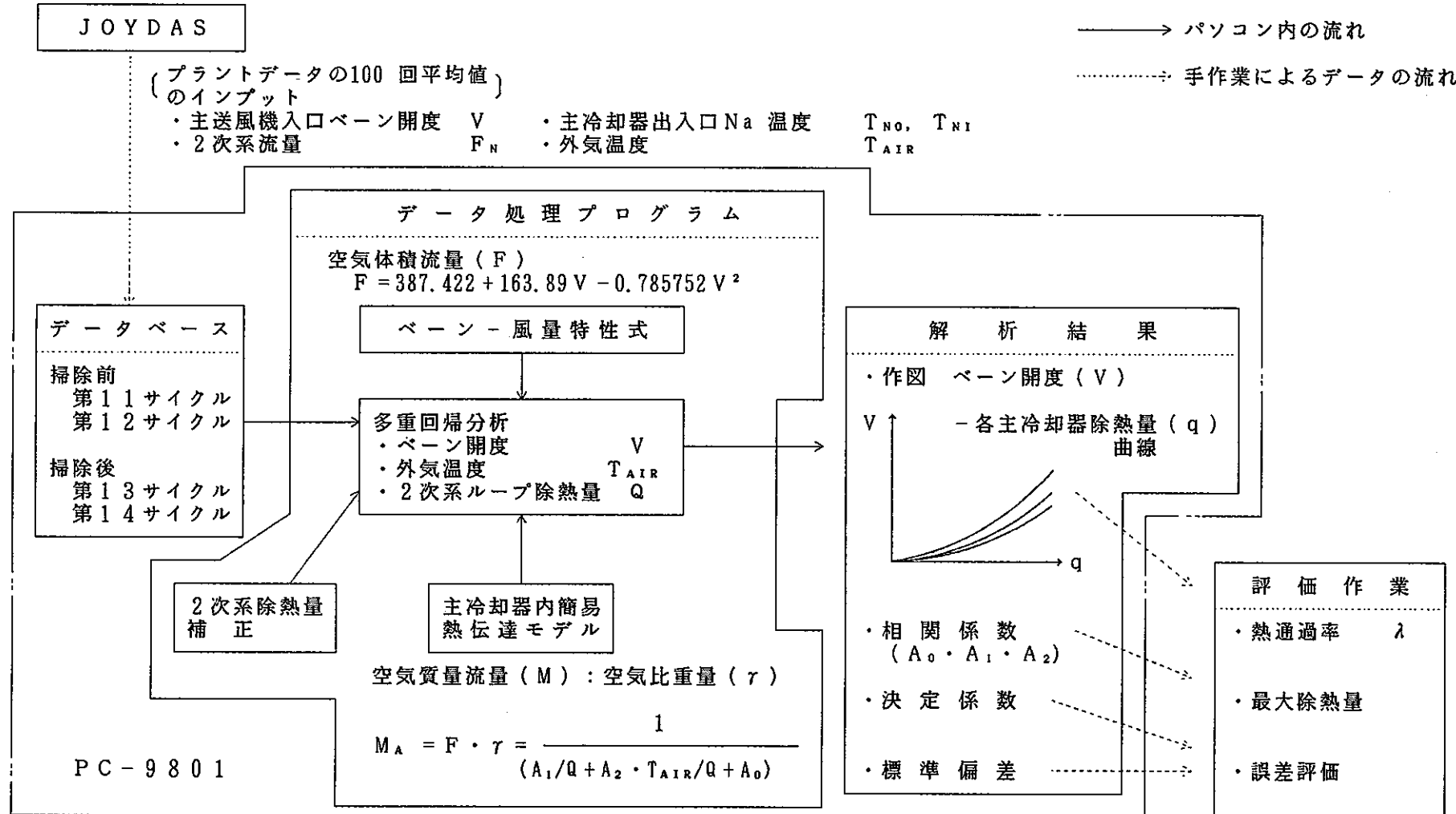
「常陽」の冷却材温度制御は、主冷却器の空気流量を制御することによって冷却材温度を所定の値に調節するものである。その為、主冷却器伝熱面の錆や汚れによる熱通過率の低下は、主冷却器の空気流量増加、すなわち主送風機入口ペーン開度（以後単にペーン開度と書く）の增加となる。総合機能試験以来、主冷却器等の伝熱特性の詳しい測定や設計性能との比較等の試験が数多くなされて来たが、^{(2) (3)} 今回はプラント運転データを使って主冷却器伝熱管外面掃除による主冷却伝熱特性の変化を調査したものである。

2. 解析・評価の方法

2.1 解析・評価の概要

第1図に今回行なった解析・評価の流れを示す。解析に使用したデータは、すべて J O D Y D A S からのデータで、主に 100回平均値を使用した。これらのデータを N E C パソコン P C - 9801 を使って多重回帰分析処理を行ない、その結果を測定データとともにペーン開度 - 除熱量曲線として、温度別に作図した。また、解析結果の熱通過率を含む項の相関係数より主冷却器熱通過率及び最大除熱量を算出した。尚掃除前のデータとして、第11サイクルと第12サイクルのデータを、また掃除後のデータとして第13サイクル及び第14サイクル B O C (Beginning of Cycle) 時のデータを使用した。

データ処理については、まず主冷却器内熱伝達モデルを考え、風量と各主冷却器除熱量及び外気温度の関係式を作った。次に風量とペーン開度の関係式を求めた。そしてこれらの関係式の最小二乗法による近似関数（相関関数）を J O Y D A S からの入口ペーン開度、外気温度及び 2 次系除熱量の生データを使って、多重回帰分析により求めた。



第1図 解析・評価の概要

2.2 主冷却器内熱伝達モデルの算出とその適用

第2図に2次主冷却系概略図を、また、第1表に熱伝達モデル構築に使用した記号を示す。

第-2図より以下の式が導出できる。

- (1) 主冷却器一基当りのナトリウム除熱量 : Q_N [MW]

$$Q_N = K \times \frac{M_N}{2} \times (H_{N0} - H_{N1}) \quad \dots \dots \dots (2 \cdot 2 \cdot 1)$$

- (2) 主冷却器一基当りのナトリウムから空気への

伝熱量 : Q_T [MW]

$$Q_T = K \times \lambda \times (\tilde{T}_T - \tilde{T}_A) \times S \quad \dots \dots \dots (2 \cdot 2 \cdot 2)$$

- (3) 主冷却器一基当りの空気受熱量 : Q_A [MW]

$$Q_A = K \times (60 \cdot M_A) \times C_p \times (T_{A0} - T_{AIR}) \quad \dots \dots \dots (2 \cdot 2 \cdot 3)$$

ここで、以下の仮定をする。

仮定-1 主冷却器内は定常伝熱状態とし、ナトリウム除熱量、空気受熱量、ナトリウムから空気への伝熱量はすべて等しい。つまり、2次系の熱は 100% 空気側へ伝達する。

仮定-2 空気温度 200°C の時の比熱は、0°C の時の値に対して約 2% 増加と変化が小さいので、空気の比熱は一定として取扱う。

仮定-3 主冷却器内伝熱管のナトリウムと空気の温度は、それぞれの出入口の算術平均点で代表させる。よって仮定-1より主冷却器除熱量を q [MW] として

$$Q_A = Q_N = Q_T = q \quad \dots \dots \dots (2 \cdot 2 \cdot 4)$$

と置く。また仮定-3より

$$\tilde{T}_N = \frac{T_{N0} + T_{N1}}{2} \quad \dots \dots \dots (2 \cdot 2 \cdot 5)$$

$$\tilde{T}_A = \frac{T_{A0} + T_{AIR}}{2} \quad \dots \dots \dots (2 \cdot 2 \cdot 6)$$

$$(2 \cdot 2 \cdot 2) \text{ 式より } \tilde{T}_A = \tilde{T}_N - \frac{q}{K \times \lambda \times S}$$

(2 · 2 · 6) 式を代入して T_{A0} を求めると

$$T_{A0} = 2 \left[\tilde{T}_N - \frac{q}{K \times \lambda \times S} \right] - T_{AIR}$$

(2 · 2 · 3) 式に代入して T_{A0} を消去すると

$$q = Q_A = 2 \times K \times (60 \times M_A) \times C_p \left[\tilde{T}_N - \frac{q}{K \times \lambda \times S} - T_{AIR} \right]$$

上式を変形して

$$\begin{aligned} \frac{1}{M_A} &= (120 \times C_p \times K) \frac{\tilde{T}_N}{q} - (120 \times C_p \times K) \frac{T_{AIR}}{q} \\ &\quad - (120 \times C_p) \times \frac{1}{\lambda \times S} \end{aligned} \quad \dots \dots \dots (2 \cdot 2 \cdot 7)$$

ここで、主冷却器出入口ナトリウム温度は、原子炉出力に対して直線状に変化するから \tilde{T}_N も主冷却器除熱量 q に対し、直線近似できる。よって $\tilde{T}_N = a_0 + a_1 q$ (a_0, a_1 は定数) とおいて (2 · 2 · 7) 式に代入すると

$$\begin{aligned} \frac{1}{M_A} &= (120 \times C_p \times K \times a_0) \frac{1}{q} - (120 \times C_p \times K) \times \frac{T_{AIR}}{q} \\ &\quad - \left[\frac{120 \times C_p}{\lambda \times S} + 120 \times C_p \times K \times a_1 \right] \end{aligned} \quad \dots \dots \dots (2 \cdot 2 \cdot 8)$$

ここで、IHXからの2次系の1ループ当りの受熱量 Q は、ループ中のそれぞれの主冷却器のナトリウム流量・出入口温度がほぼ等しく制御されて運転されている為、 $Q = 2q$ と置いて (2 · 2 · 8) 式に代入すると

$$\begin{aligned} \frac{1}{M_A} &= (240 \times C_p \times K \times a_0) \frac{1}{Q} - (240 \times C_p \times K) \times \frac{T_{AIR}}{Q} \\ &\quad 120 \times C_p \left[K a_1 + \frac{1}{\lambda \times S} \right] \end{aligned}$$

ここで $A_1 = 240 \times C_p \times K \times a_0$

$$A_2 = 240 \times C_p \times K$$

$$A_0 = 120 \times C_p \times \left(K a_1 + \frac{1}{\lambda \times S} \right)$$

とおくと

$$\frac{1}{M_A} = A_1 - \frac{1}{Q} + A_2 - \frac{T_{AIR}}{Q} + A_0 \quad \dots \dots (2 \cdot 2 \cdot 9)$$

となる。

熱伝達モデルを (2・2・9) 式の様な 1 次結合関数に展開したのは、多重回帰分析を適用する為である。つまり主変数として、 $x_1 = 1 / Q$ 、 $x_2 = T_{AIR} / Q$ 、従属変数として $y = 1 / M_A$ と置いて、JOYDAS からデータを

$$y_1 \left(= \frac{1}{M_{A1}} \right), \quad x_{11} \left(= \frac{1}{Q_1} \right), \quad x_{21} \left(= \frac{T_{AIR-1}}{Q_1} \right)$$

$$y_2 \left(= \frac{1}{M_{A2}} \right), \quad x_{12} \left(= \frac{1}{Q_2} \right), \quad x_{22} \left(= \frac{T_{AIR-2}}{Q_2} \right)$$

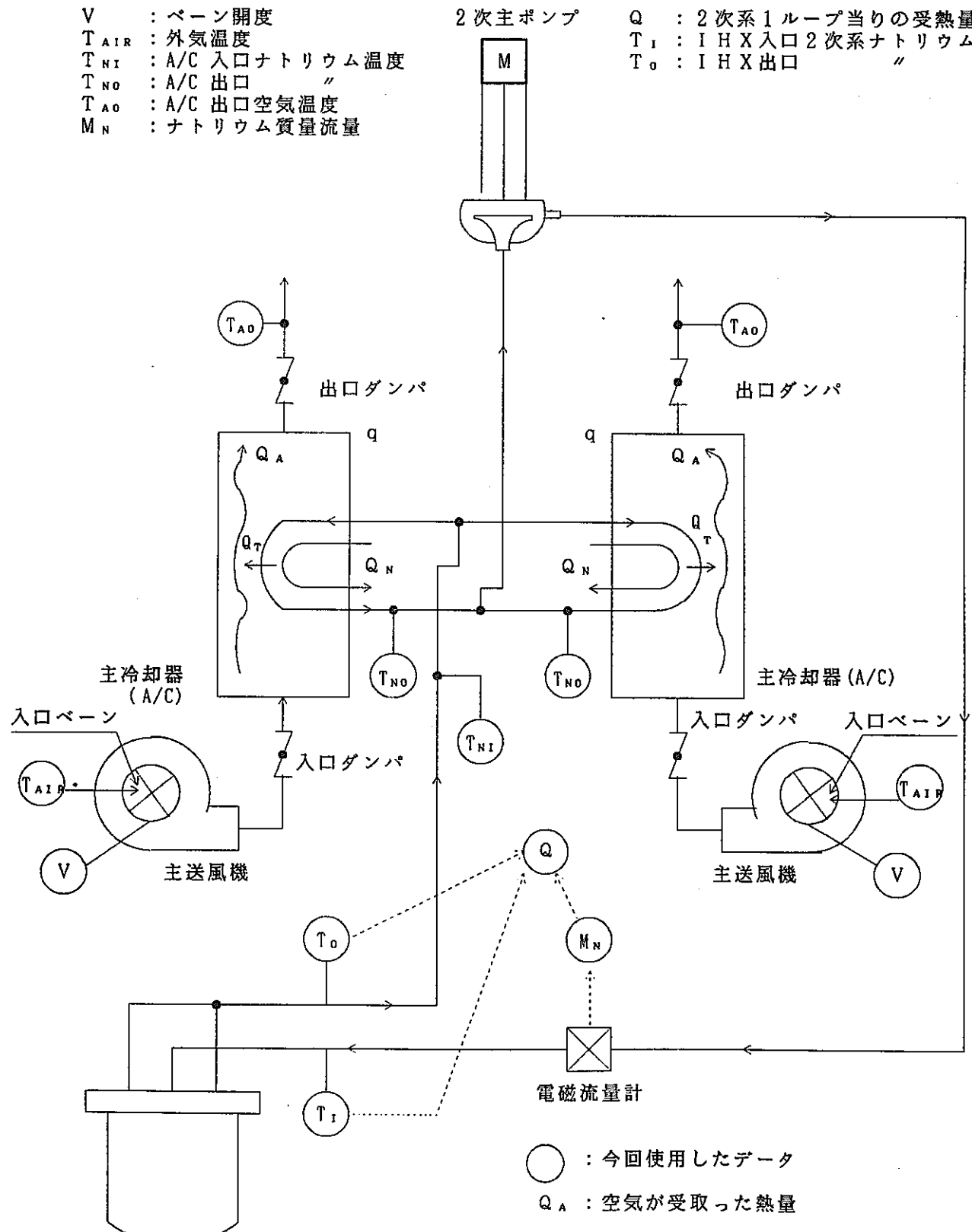
$$y_m \left(= \frac{1}{M_{Am}} \right), \quad x_{1m} \left(= \frac{1}{Q_m} \right), \quad x_{2m} \left(= \frac{T_{AIR-N}}{Q_m} \right)$$

のデータセットに置き換え、これらのデータセットに対する近似式の A_1 、 A_2 、 A_0 を最小二乗法によって決定した。

V : ベーン開度
 T_{AIR} : 外気温度
 T_{NI} : A/C 入口ナトリウム温度
 T_{NO} : A/C 出口
 T_{AO} : A/C 出口空気温度
 M_N : ナトリウム質量流量

2 次主ポンプ

Q : 2 次系 1 ループ当りの受熱量
 T_i : IHX 入口 2 次系ナトリウム温度
 T_o : IHX 出口



(○) : 今回使用したデータ

Q_A : 空気が受け取った熱量

Q_N : ナトリウムが失った熱量

Q_T : ナトリウムから空気に伝わった熱量

q : 主冷却器除熱量

第2図 2次主冷却系概略図 (1ループのみ示す。)

第1表 主冷却器内伝熱モデル構築に使用した記号

記号	名称	単位
V	ペーン開度	%
T _{AIR}	外気温度	℃
T _{A0}	主冷却器出口空気温度	℃
T _{N1}	主冷却器入口ナトリウム温度	℃
T _{N0}	主冷却器出口ナトリウム温度	℃
Q	2次系ループ当りのナトリウム受熱量	MW
Q _A	主冷却器1基当りの空気受熱量	MW
Q _N	主冷却器1基当りのナトリウム除熱量	MW
Q _T	主冷却器1基当りのナトリウムから空気への伝熱量	MW
q	主冷却器除熱量	MW
T _i	IHX入口2次系ナトリウム温度	℃
T _o	IHX出口2次系ナトリウム温度	℃
C _P	空気の比熱	Kcal/kg・℃
K	換算係数	(1/8.6 × 10 ⁵)MW/Kcal
S	主冷却器1基の伝熱面積	(1225) m ²
λ	主冷却器伝熱面の熱通過率	Kcal/m ² ・h・℃
H _{N0}	主冷却器出口ナトリウムのエンタルピ	Kcal/kg
H _{N1}	主冷却器入口ナトリウムのエンタルピ	Kcal/kg
~T _N	伝熱管内ナトリウム平均温度	(T _{A0} + T _{A1}) / 2 ℃
~T _A	主冷却器出入口空気平均温度	(T _{A0} + T _{A1}) / 2 ℃
γ	空気比重	kg/m ³
M _A	主冷却器1基当りの空気質量流量	kg/min
F	主冷却器1基当りの空気体積流量	m ³ /min
M _N	2次系ループ当りのナトリウム質量流量	kg/H

2.3 ベーン開度と風量の関係

主冷却器内熱伝達モデル（2・2・9）式において、主冷却器内空気質量流量 M_A は、プラント運転データとして測定していない。従って昭和58年3月に技術課で測定した「100M W定常運転時の伝熱特性試験」のベーン開度 - 空気体積流量線図を使って、運転データのベーン開度より主冷却器内空気質量流量 M_A を算出した。ベーン開度と空気体積流量の関係は、同試験結果の線図より、多項式回帰分析を行なって下記近似式を求めている。その結果を第-3図に示す。

$$\text{空気体積流量} : F = 387.422 + 163.89V - 0.785752V^2 \quad \dots \quad (2 \cdot 3 \cdot 1)$$

第3図にて、 $R * R$ は決定係数、 $E R R$ は標準偏差を示す。決定係数は、近似式と測定データの誤差を無次元化してその近似度を評価するもので、通常 1 以下で 1 に近い程近似が良い。標準偏差 ($E R R$) は、近似式と測定データの散らばり方の度合いを示し、yと同じ単位をもつ。つまりベーン開度 V 、[%] 時の空気体積流量 F (V_1) は、 $F(V_1) \pm E R R [m^3/min]$ の範囲にデータが 68.3% の確率で表わせる事を示している。

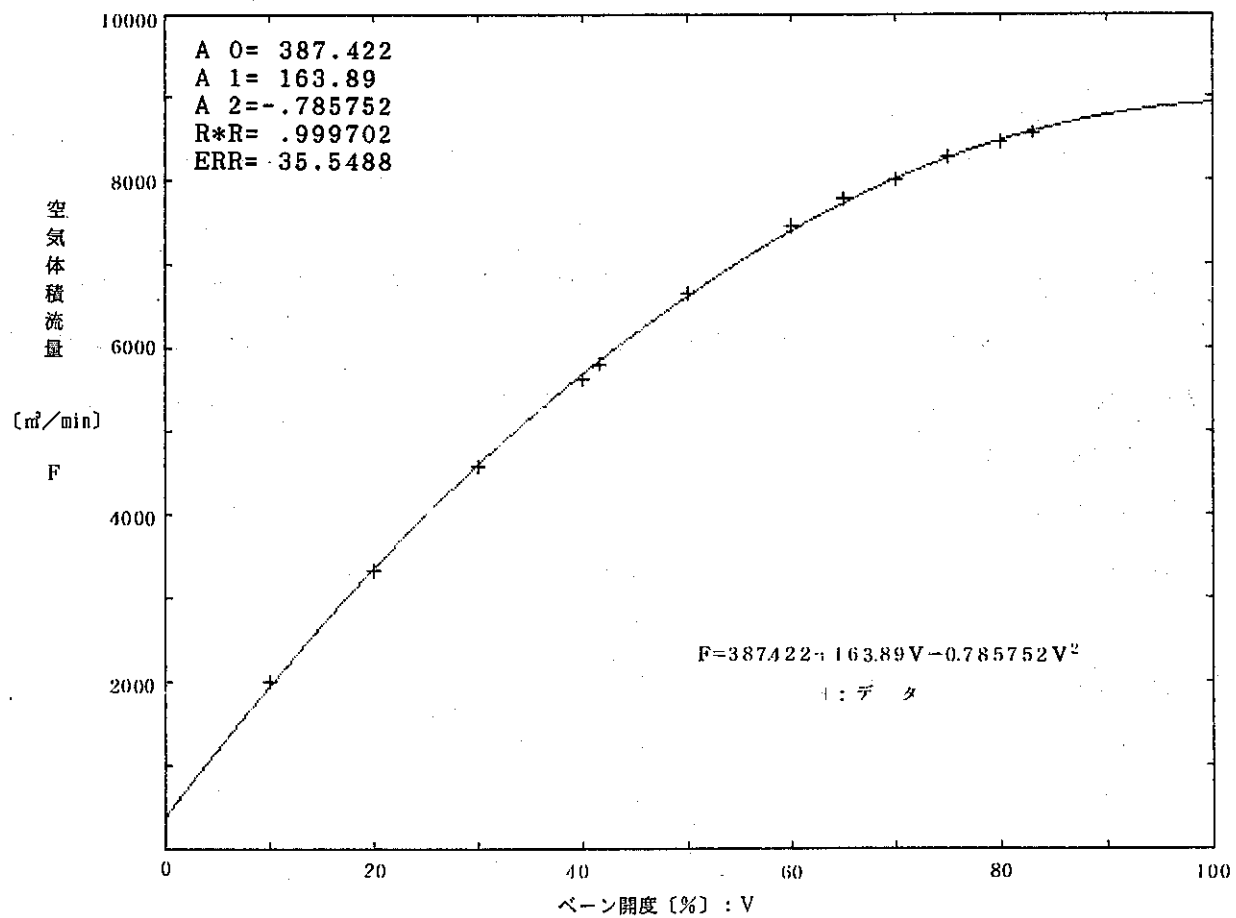
また、(2・3・1) 式を空気質量流量に換算する為の空気比重として (2・3・2) 式を使用した。

$$\gamma = 1.25243 - 4.47978 \times 10^{-3} T_{AIR} + 1.13097 \times 10^{-5} T_{AIR}^2 \quad \dots \quad (2 \cdot 3 \cdot 2)$$

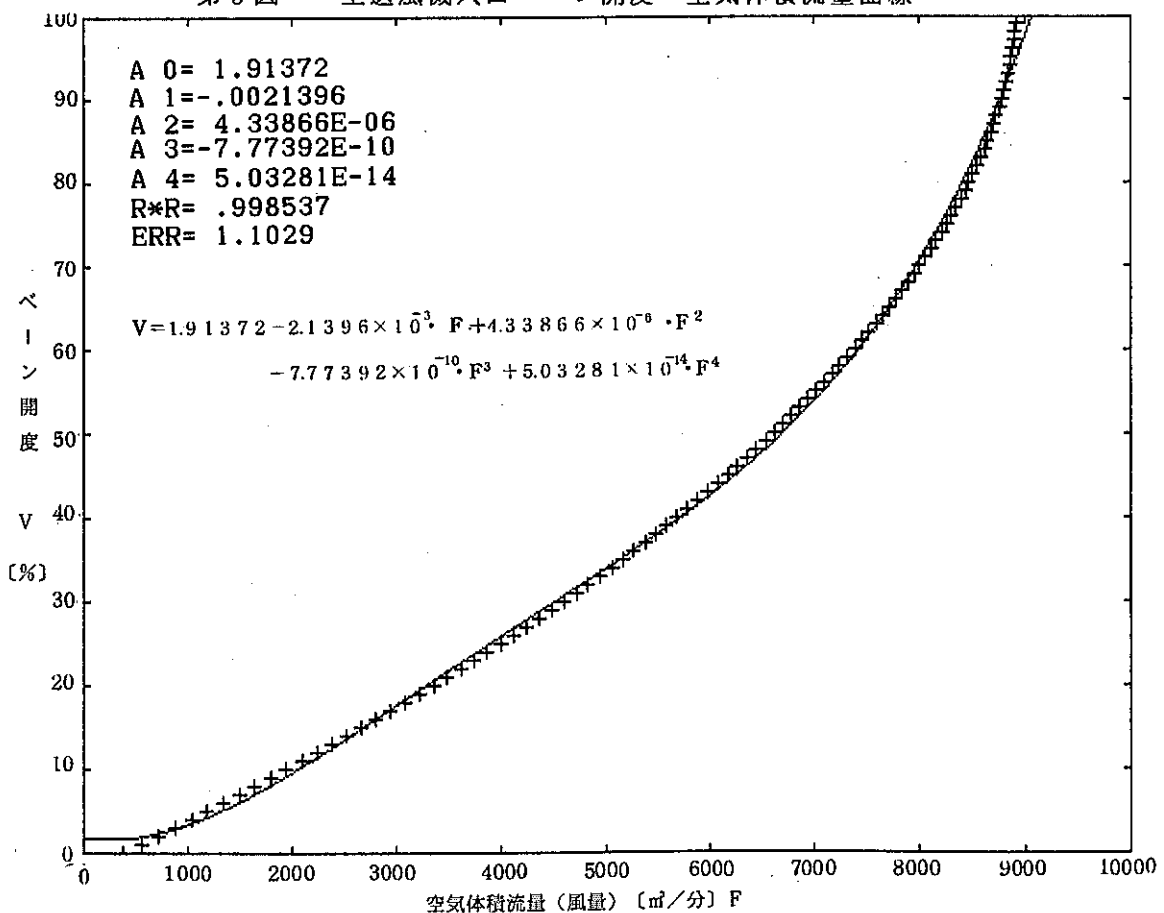
第4図に (2・3・1) 式の逆関数を多項式回帰分析で求めた結果を示す。+印が (2・3・1) 式のベーンと風量の値で実線が近似曲線である。この近似式を (2・3・3) 式に示す。

$$V = 1.91372 - 2.1396 \times 10^{-3} F + 4.33866 \times 10^{-6} F^2 \\ - 7.77392 \times 10^{-10} F^3 + 5.03281 \times 10^{-14} F^4 \quad \dots \quad (2 \cdot 3 \cdot 3)$$

(2・3・3) 式は入口ベーン開度と2次系ループ別除熱量の解析結果作図の時に使用した。なお第-4図でもわかる様に、(2・3・3) 式は、ベーン開度 90% 以上で (2・3・1) 式との近似が非常に悪くなっている。その為、空気体積流量からのベーン開度の算出は、(2・3・3) 式で得られたベーン開度を元の (2・3・1) 式に代入して、その精度を調べ、誤差の大きい場合は (2・3・1) 式の微係数を使って誤差を補正している。



第3図 主送風機入口ペーン開度 - 空氣体積流量曲線



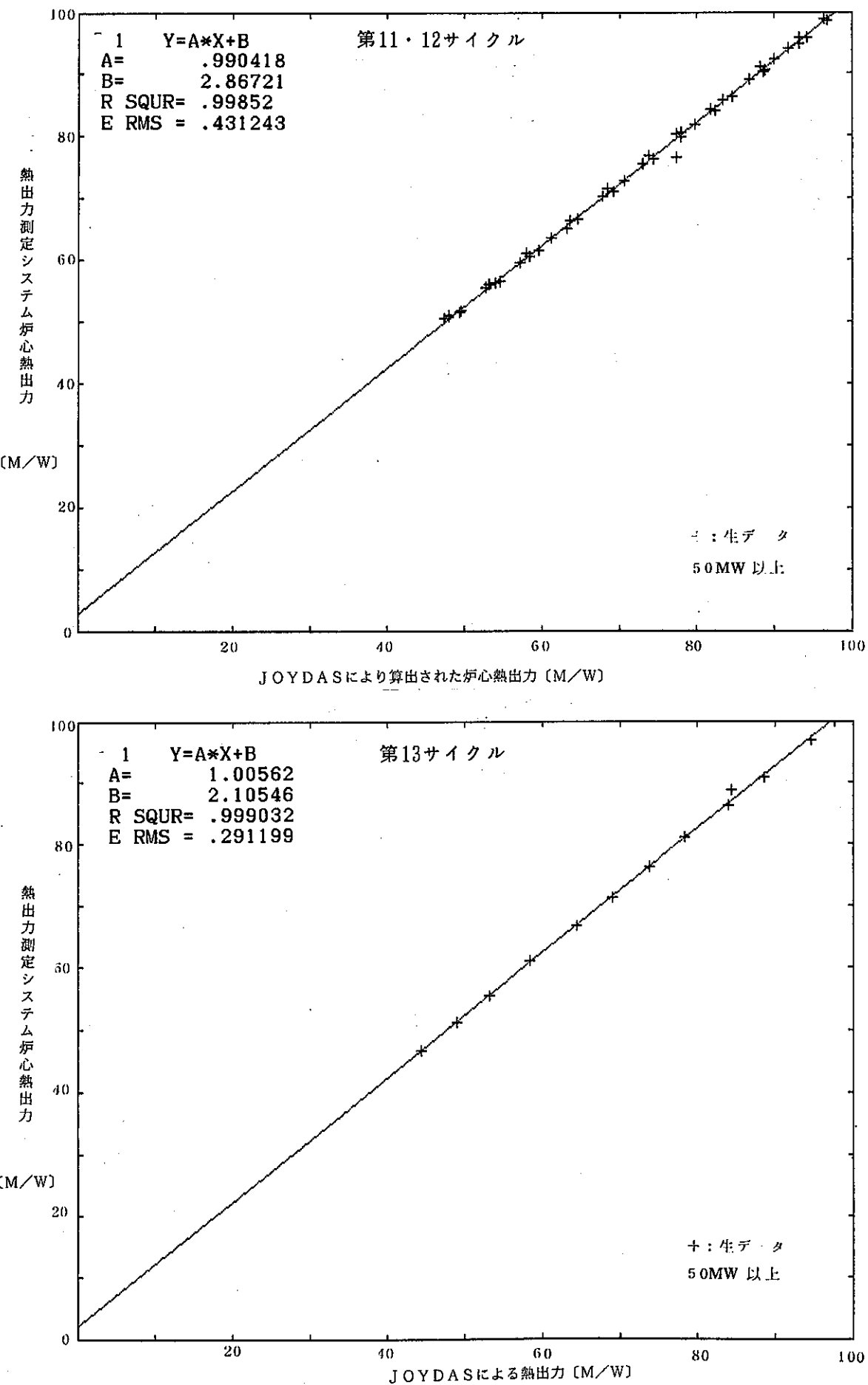
第4図 主冷却器内風量 - 主送風機ペーン開度曲線

2.4 热出力補正

第5図に第11・12サイクル及び第13サイクルのJOYDAS炉心热出力と技术課の热出力测定システムによる炉心热出力との比较を示す。この図よりJOYDASによる炉心热出力の方が热出力测定システム热出力より、2～2.7MW低い事がわかる。また、サイクル间でも異なっており、両サイクルの热出力测定システムの値を等しくしてJOYDASの炉心热出力を比较してみると、第11・12サイクルの方が第13サイクルより約0.7MW高くなっていることがわかる。

この倾向は、2次系除热量についてもあてはまる。第-2表に、今回の評価作業で使った各热出力や除热量データを单変数回帰分析を行い、热出力测定システムによる炉心热出力と比較した結果を示す。この表より、2次系除热量も第11・12サイクルの方が第13サイクルよりも約0.6MWから0.8MW高くなっている。

そこで、各サイクル間の热出力の统一を図るため热出力测定システム热出力を基準として2次系除热量を補正した。つまり、第11・12サイクル热出力测定システムの热出力と2次系除热量との関係を求め第13サイクルの2次系除热量は、この関係式を使って热出力测定システム热出力より求めた。



第5図 JOYDAS炉心熱出力と熱出力測定システム炉心熱出力との関係

第2表 热出力测定システム 100M W時の J O Y D A S 炉心热出力と、
2次系除热量の比較

	第11・12 サイクル	第13 サイクル	差
热出力测定システム 炉心热出力	100	100	—
J O Y D A S 炉心热出力	98.07	97.35	0.72
2次系A ループ 除热量	49.70	48.86	0.84
2次系B ループ 除热量	47.03	46.45	0.58

2.5 主冷却器伝熱特性評価プログラム

2.2～2.3で述べた主冷却器内伝熱モデル及び多重回帰分析を使った主冷却器伝熱特性解析プログラムを付録1に示す。プログラムの内容は下記5項目からなっている。

1) 解析に使うデータの呼び込み “DATA FILE READING”

“CYCLE 1”に入っている。

2) 使用データの選出 “DATA CONTROL”

3) 測定データのプロット “DATA PLOTTING”

4) 多重回帰分析 “DATA ANALYSIS”

5) 多重回帰分析結果の表示及び作図 “SMOOTHING”

2.6 データ・ベース

主冷却器伝熱特性の解析に使用する測定データで、JOYDASのデータを入力している。その内容を付録2に示す。データはサイクル番号、データ採取年月日、データ採取時間、測定データ（13点）の順番でならんでいる。

3. 解析・評価の結果

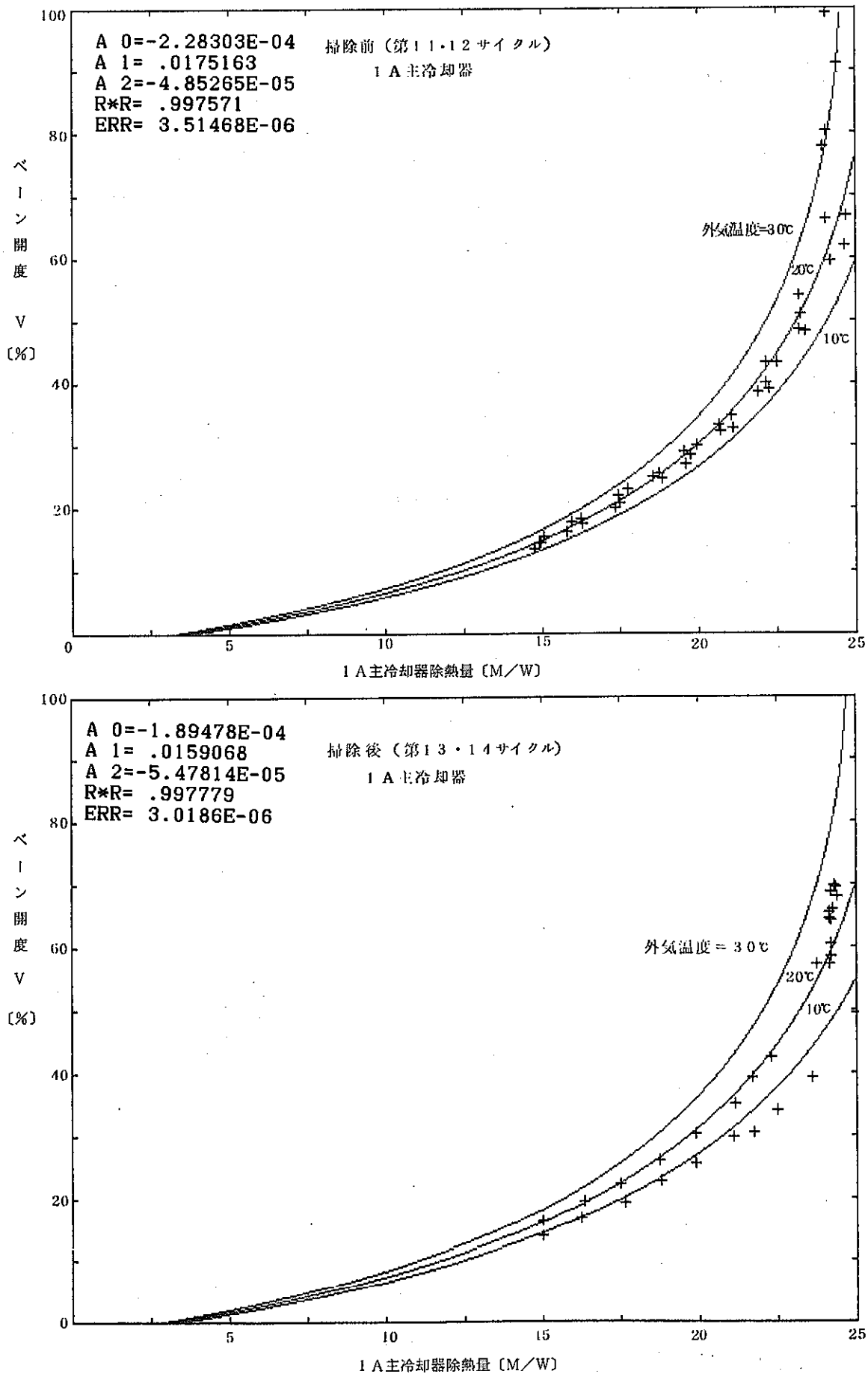
3.1 各主冷却器の除熱特性について

前章で述べた方法で、掃除前については第11・12サイクルの運転データを、また、掃除後については第13・14サイクルの運転データを用いて解析した。その結果を第8図から第11図に示す。図中の+印は測定データを示す。また、 A_0 、 A_1 、 A_2 は (2・2・9) 式

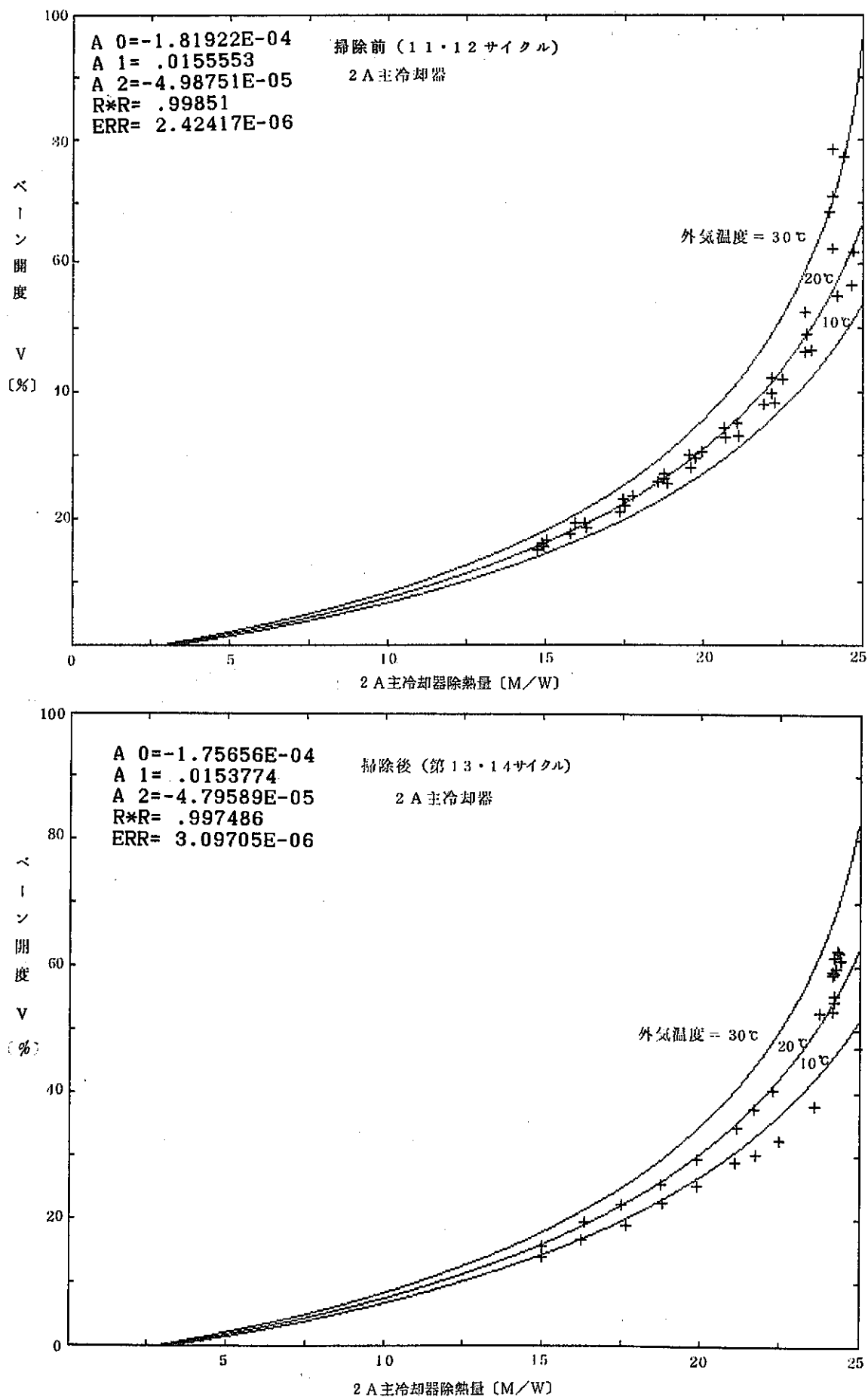
$$\frac{1}{M_A} = \frac{1}{E \times \tau} = A_1 - \frac{1}{Q} + A_2 \frac{T_{AIR}}{Q} + A_0$$

の多重回帰分析結果の相関係数である。

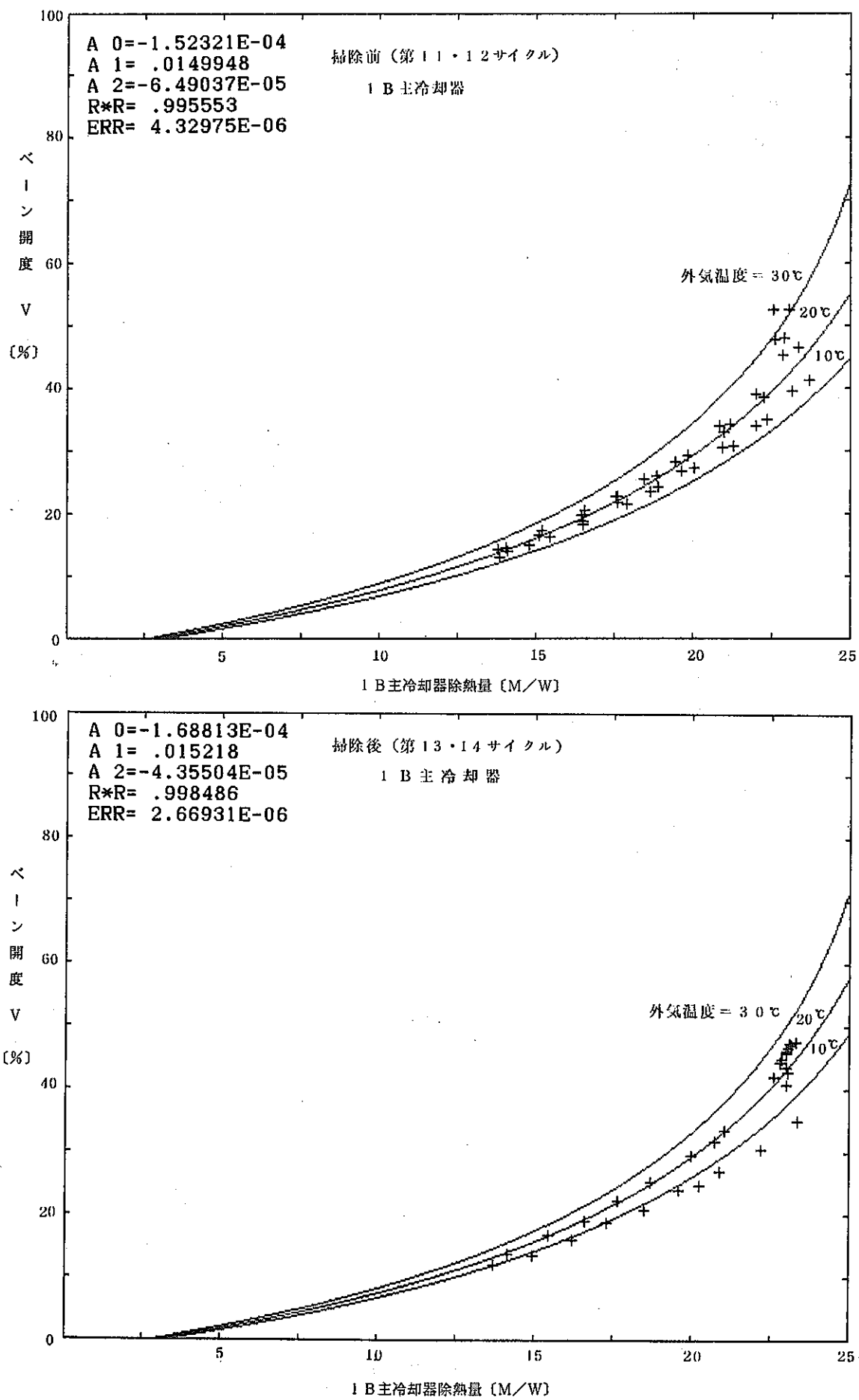
解析結果は、決定係数 R^2 が 0.99 以上となり主冷却器熱伝達モデリングが妥当であったと思われる。一方、標準偏差 E_R が小さな値となっているのは解析で (2・2・9) 式を用いており、従属変数が $1/M_A$ の為である。



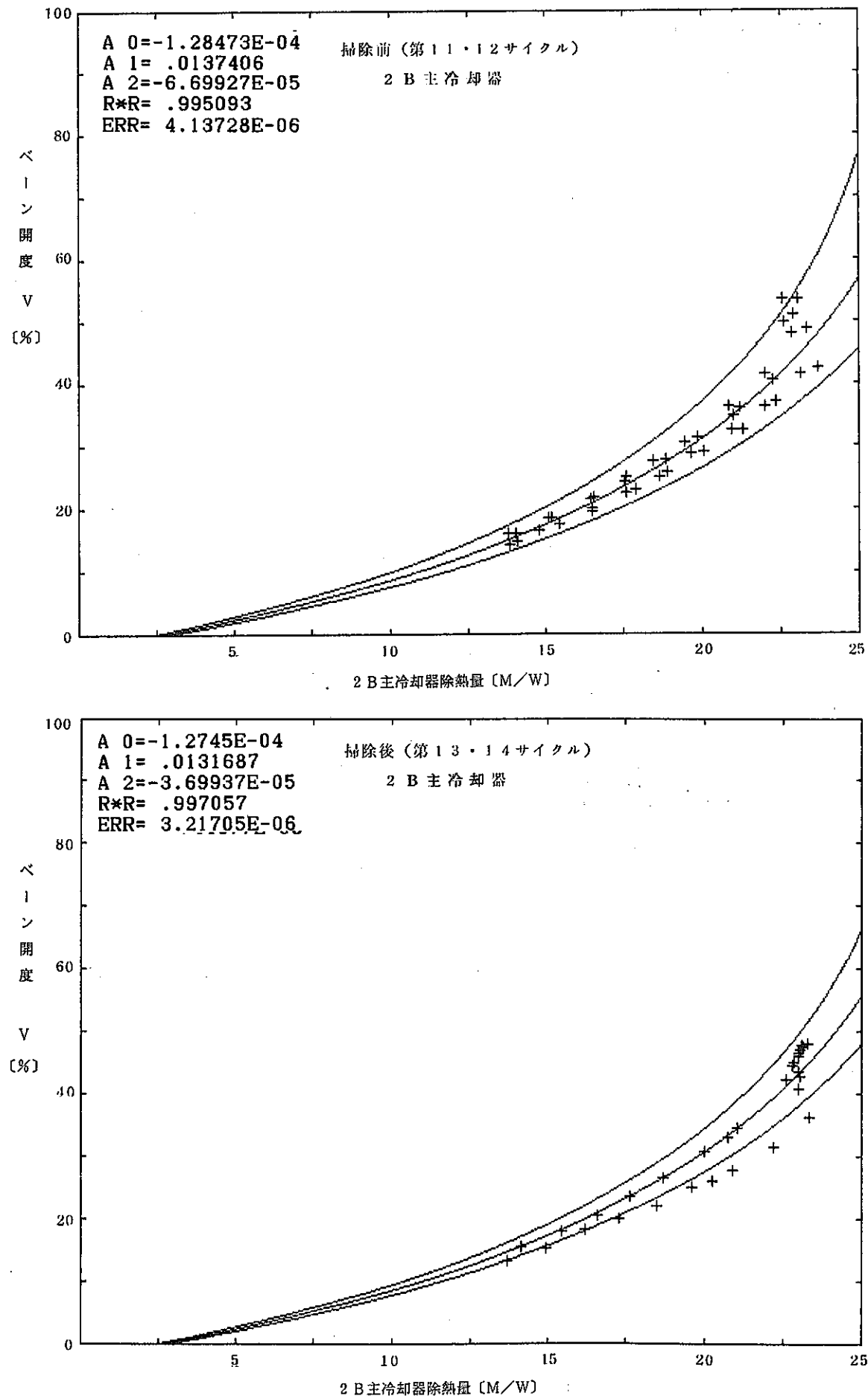
第6図 1 A 主送風機ベーン開度曲線



第7図 2 A 主送風機ベーン開度曲線



第8図 1B主送風機ベーン開度曲線



第9図 2B主送風機ペーン開度曲線

3.2 解析結果の評価

(1) 評価結果

掃除効果の比較を、次の3項目について行なった。

① 各主冷却器除熱量が25MW時のベーン開度

各主冷却器除熱量が25MWで、外気温度がそれぞれ10℃、20℃、30℃の時の主送風機入口ベーン開度

② 各主冷却器熱通過率

各サイクルデータの多重回帰分析で得られた相関係数A₀より求めた熱通過率。主冷却器内空気流量が変化すると熱通過率も変化する為、この熱通過率は原子炉出力60MW以上の時の平均値である。

③ 各主冷却器最大除熱量

外気温度がそれぞれ10℃、20℃、30℃の時のベーン開度 100%での主冷却器1基当たりの除熱量

この比較の結果を第3表に示す。この表より以下の事がわかる。

① 掃除の効果が最も良く表われたのは1A主冷却器で熱通過率が約19%、最大除熱量が0.2MWから0.7MWの範囲で増加した。

② 2A、2B主冷却器の伝熱特性は、熱通過率でみると4.2%と1.2%増と若干の増加傾向がみられた。

③ 1B主冷却器については、掃除によって伝熱効率が逆に悪くなるという予想外の結果となった。

全体としてAループについては掃除後の伝熱効率が良くなつたが、Bループについては、解析結果に評価誤差の影響が大きく表われてしまった傾向が見られた。

第3表 主冷却器伝熱管外面掃除効果の比較

A/C No.	サイクル No.	外気 温度	主冷却器除熱量 が25MWの時のペ ーン開度 (%)	熱通過率 (Kcal / m ² · h · °C)	ペーン全開時 主冷却器1台の 除熱量 (MW)	掃除の効果
1 A	第 11・12 (掃除前)	10	59.0 %	45.8	26.5	1) 熱通過率増加率 : + 19%
		20	76 %		25.6	2) 主冷却器除熱量増加率 10°C ; + 0.7MW
		30 ℃	49MW以上で ペーン全開		24.5	20°C ; + 0.4MW 30°C ; + 0.2MW
	第 13・14 (掃除後)	10	54.5 %	54.6	27.2	
		20	70 %		26.0	
		30 ℃	49.5MW以上で ペーン全開		24.7	
2 A	第 11・12 (掃除前)	10	54 %	56.4	27.4	1) 熱通過率増加率 : + 4.2%
		20	66 %		26.2	2) 主冷却器除熱量増加率 10°C ; + 0.4MW
		30 ℃	96 %		25.0	20°C ; + 0.4MW 30°C ; + 0.4MW
	第 13・14 (掃除後)	10	51 %	58.7	27.8	
		20	62.5 %		26.6	
		30 ℃	82 %		25.4	
1 B	第 11・12 (掃除前)	10	45 %	62.9	29.3	1) 熱通過率増加率 : - 8.5%
		20	55 %		27.6	2) 主冷却器除熱量増加率 10°C ; - 1.0MW
		30 ℃	72.5 %		25.9	20°C ; - 0.5MW 30°C ; + 0.1MW
	第 13・14 (掃除後)	10	49 %	57.6	28.3	
		20	58 %		27.1	
		30 ℃	71 %		26.0	
2 B	第 11・12 (掃除前)	10	45 %	73.3	29.6	1) 熱通過率増加率 : + 1.2%
		20	57 %		27.6	2) 主冷却器除熱量増加率 10°C ; - 0.5MW
		30 ℃	77 %		25.8	20°C ; + 0.2MW 30°C ; + 0.8MW
	第 13・14 (掃除後)	10	48 %	74.2	29.1	
		20	56 %		27.8	
		30 ℃	66 %		26.6	

(2) 考 察

第-3表に示す様に今回の掃除効果の評価結果には、ばらつきが多く掃除をして伝熱効率が悪くなると言うありえない結果も出ている。この原因について以下の検討を行った。

① 外気温度の時間遅れ

今回の評価作業で使用した外気温度データは、JOYDAS値であり、第11・12サイクルでは、その検出器が中央制御室休憩室北側階段付近に設置されていたが第13・14サイクルでは原子炉付属建家屋上に移されている。さらに第13サイクル以降はAループ及びBループ主送風機風洞室の空気温度のデータが追加されている。第-12図に第13サイクル及び第14サイクルの主送風機風洞室空気温度と、今回の解析で使用した外気温度の関係を示す。第12図より主送風機入口空気温度と解析に使用した外気温度との間にはお互いの変化時間遅れによる誤差として約5℃から7℃の誤差が生じている事がわかる。

② ベーン開度の誤差

主送風機ベーン駆動機構はリンク機構になっており、同じ原子炉出力、外気温度でベーン制御信号が同じであってもベーンの停止する角度は少し異なってくる。技術課で毎サイクル行なっているベーン・ダンパ開度特性試験によれば、そのベーン開度の誤差は2~3%となっている。従って、この解析以前にベーン開度のデータ内に2~3%の誤差が含まれている事になる。

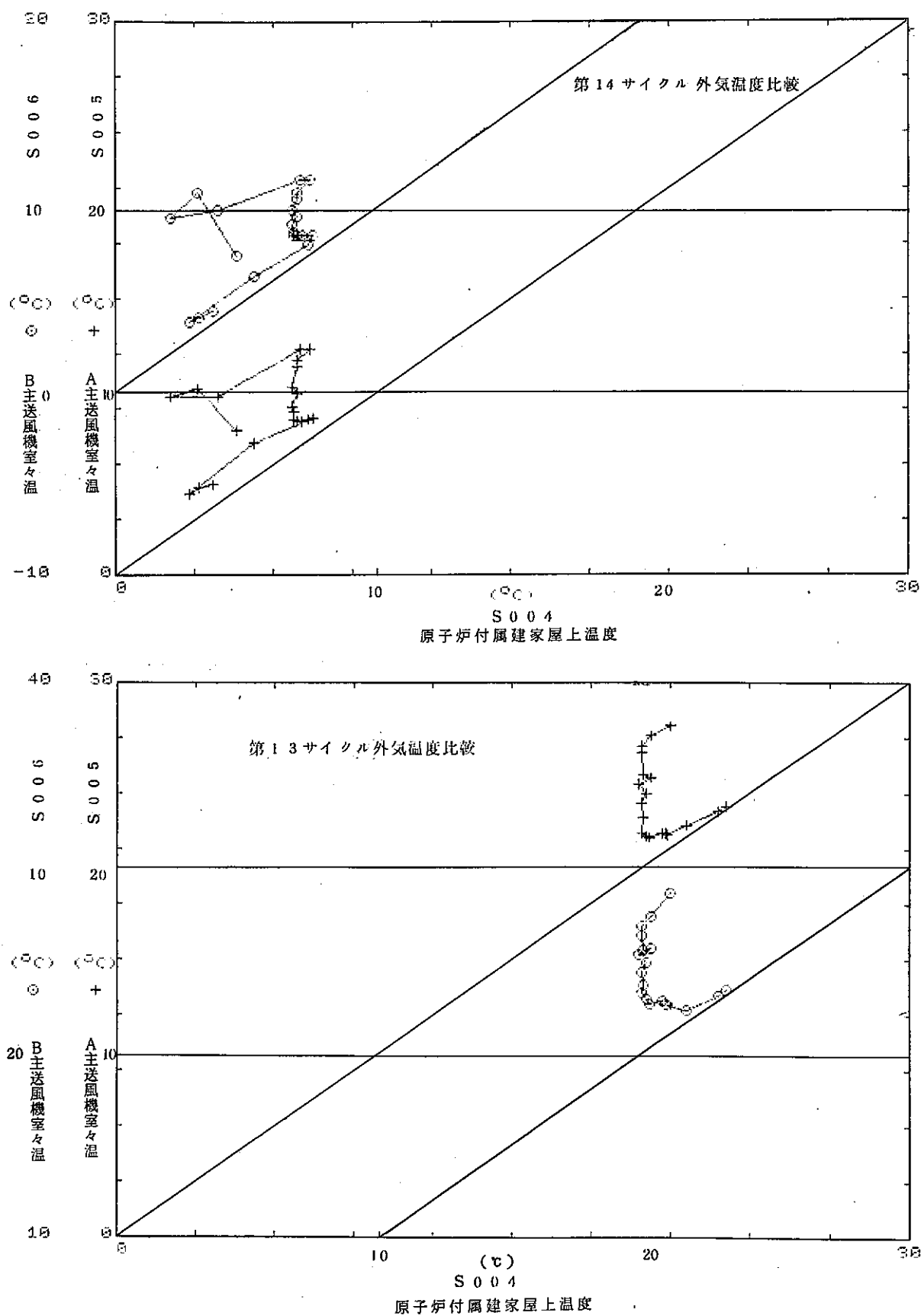
以上の誤差がA、Bループの掃除前後の伝熱効率の変化に含まれているが、さらにBループの主冷却器には、

③ 伝熱面掃除の効果がAループ側より小さかった事。二課の話によると、Aループ側の伝熱管外面は空気取入口が海側を向いている為、さびやはこりがBループよりも多かったそうである。その為、Aループの方が伝熱面掃除効果が大きかった。

④ ベーンの動く範囲がAループは10%~80%なのに対し、Bループは8%~50%となっている。

第-3図からわかる様に、ベーン開度が小さいほど風量変化率（除熱率）の変化率が大きい事がわかる。その為、同じ3%のベーンヒステリシスの誤差であってもBループの方が誤差が大きくなっている。

この様な理由により、特にBループの評価結果の誤差の影響が大きかったと思われる。



第10図 外気温度の比較

4. 結 言

今回の主冷却器伝熱特性の評価作業は、第6回定期検査時に実施された主冷却器伝熱面の掃除作業前後のプラント運転データを使った多重回帰分析法により、主冷却器の伝熱特性の変化を評価したものである。各主冷却器の熱通過率は主冷却器工事認可資料の設計値⁽³⁾ $67.16 \text{Kcal} / \text{m}^2 \cdot \text{h} \cdot ^\circ\text{C}$ に近い $46 \sim 75 \text{Kcal} / \text{m}^2 \cdot \text{h} \cdot ^\circ\text{C}$ となり、ほぼ妥当な値が得られた。今回の評価により、回帰分析法で主冷却器伝熱特性の経年変化等が比較できることがわかった。

しかし今回の評価作業では主冷却器伝熱面掃除前後の比較という点においては必ずしも満足できる結果が得られなかった。これは、今回の解析に使用した外気温度と実際の主冷却器入口空気温度との変化時間遅れによる誤差の為である。

今後は実際の主冷却器入口空気温度を使用して評価できるので、この点の比較も可能となると思われる。

5. 参考資料

- (1) 計算機を使ったデータ処理技術

1986年11月 第2回原子炉一課課内講座資料

- (2) 100M W定常運転時の伝熱特性試験結果報告書

昭和58年3月 技術課資料 57-125

- (3) 主冷却器熱流動解析工事認可資料

- (4) 伝熱工学資料

付録1 主冷却器伝熱特性評価プログラム

```

10 ***** DATA ANALYSIS FOR COOLER *(SCHOOL)*****
20 PRINT "PLANT DATA KAISEKI"
30 DIM X(100,100),HEAD$(100),DAT$(100),TIM$(100),X1(99,9),Y1(99),Z(10),S(10,10),T(10),X2(10)
40 ****
100 GOTO 25000
4999 ***** DATA PLOTTING *****
5000 *C:CLS 2
5360 CONSOLE 0,25,0
5370 SCREEN 2,0
5380 WINDOW (0,0)-(639,399)
5390 VIEW (0,0)-(639,399)
5410 MAX=50
5420 MIX=0
5430 MAY=100
5440 MIY=0
5450 LPRINT "SCALE X(";MAX;",";MIX;") SCALE Y(";MAY;",";MIY;") VARIABLE X(";IP;")"
5460 POINT (138,0)
5470 LINE-STEP(0,39),7,,
5480 FOR I=1 TO 9
5490 LINE-STEP(3,0),7,,
5500 POINT STEP(-3,0)
5510 LINE-STEP(0,40),7,,
5520 NEXT I
5530 FOR I=1 TO 9
5540 LINE-STEP(50,0),7,,
5550 LINE-STEP(0,-3),7,,
5560 POINT STEP(0,3)
5570 NEXT I
5580 LINE-STEP (50,0),7,,
5590 FOR I=1 TO 9
5600 LINE-STEP(0,-40),7,,
5610 LINE-STEP(-3,0),7,,
5620 POINT STEP (-3,0)
5630 NEXT I
5640 LINE-STEP(0,-39),7,,
5650 LINE-STEP(-50,0)
5660 FOR I=1 TO 9
5670 LINE-STEP(0,3),7,,
5680 POINT STEP(0,-3)
5690 LINE-STEP(-50,0)
5700 NEXT I
5710 CPX=500/(MAX-MIX)
5720 CPY=400/(MAY-MIY)
5725 IF NIKAIME THEN 5811
5730 FOR I=NS1 TO NE1
5740 PX=138+(X(I,NQ)-MIX)*CPX:PY=399-(X(I,NV)-MIY)*CPY
5750 POINT (PX,PY)
5760 LINE-STEP(3,0),7,,
5770 LINE-STEP(-6,0),7,,
5780 LINE-STEP(3,0),7,,
5790 LINE-STEP(0,3),7,,
5800 LINE-STEP(0,-6),7,,
5805 NEXT I
5810 GOTO *D
5811 FOR I=NS1 TO NE1
5812 PX=138+(X(I,NQ)-MIX)*CPX:PY=399-(X(I,NV)-MIY)*CPY
5813 POINT (PX,PY)
5814 CIRCLE (PX,PY),2,7,,
5815 NEXT I
5818 END
5819 ***** DATA ANALYSIS *****
5820 *D
5830 E=0:C=0
5840 FOR I=0 TO 10
5850 T(I)=0: Z(I)=0
5860 FOR J=0 TO 10
5870 S(J,I)=0
5880 NEXT J
5890 NEXT I
5900 FOR K=1 TO N1

```

```

5900 FOR K=1 TO N1
5910 FOR I=0 TO M1
5920 IF I=M1 THEN E=Y1(K-1): GOTO *H
5930 E=X1(K-1,I)
5940 *H: Z(I)=E:T(I)=T(I)+E
5950 FOR J=0 TO I
5960 S(I,J)=S(I,J)+Z(I)*Z(J)
5970 NEXT J
5980 NEXT I
5990 NEXT K
6000 FOR I=0 TO M1
6010 T(I)=T(I)/N1
6020 NEXT I
6030 FOR I=0 TO M1
6040 FOR J=0 TO I
6050 S(I,J)=S(I,J)-N1*T(I)*T(J)
6060 S(J,I)=S(I,J)
6070 NEXT J
6080 NEXT I
6090 FOR I=0 TO M1-1
6100 Z(I)=S(I,M1)
6110 NEXT I
6120 FOR I=0 TO M1-1
6130 J=1
6140 IF S(I,J)<>0 THEN *I
6150 J=J+1
6160 IF J=M1 THEN PRINT "ERROR" :END
6170 IF S(I,J)=0 THEN 6150
6180 FOR K=0 TO M1-1
6190 C=S(I,K)
6200 S(I,K)=S(J,K)
6210 S(J,K)=C
6220 NEXT K
6230 C=Z(I)
6240 Z(I)=Z(J) :Z(J)=C
6250 *I:C=S(I,I)
6260 FOR J=0 TO M1-1
6270 S(I,J)=S(I,J)/C
6280 NEXT J
6290 Z(I)=Z(I)/C
6300 FOR K=0 TO M1-1
6310 IF K=I THEN *J
6320 C=S(K,I)
6330 FOR J=0 TO M1-1
6340 S(K,J)=S(K,J)-C*S(I,J)
6350 NEXT J
6360 Z(K)=Z(K)-C*Z(I)
6370 *J: NEXT K
6380 NEXT I
6390 Z(M1)=0
6400 FOR I=0 TO M1-1
6410 Z(M1)=Z(M1)+Z(I)*T(I)
6420 NEXT I
6430 Z(M1)=T(M1)-Z(M1)
6440 PRINT "A 0=";Z(M1): LPRINT "A 0=";Z(M1)
6450 FOR I=0 TO M1-1
6460 PRINT "A";STR$ (I+1); "=";Z(I): LPRINT "A";STR$ (I+1); "=";Z(I)
6470 NEXT I
6480 A=0
6490 FOR I=0 TO M1-1
6500 A=A+Z(I)*S(I,M1)
6510 NEXT I
6520 B=S(M1,M1)
6530 E=A/B
6540 PRINT "R*R=";E :LPRINT "R*R=";E
6550 ER=0
6560 FOR J=0 TO N1-1
6570 Y=Z(M1)
6580 FOR I=0 TO M1-1
6590 Y=Y+Z(I)*X1(J,I)
6600 NEXT I
6610 ER=(Y-Y1(J))*(Y-Y1(J))+ER
6620 NEXT J
6630 ER=SQR(ER/N1)
6640 PRINT "ERR=";ER:LPRINT "ERR=";ER

```

```

6999 **** SMOOTHING ****
7000 TAIR=TAIR+10 :IF TAIR>35 THEN TAIR=0 :CLS:COPY:FOR I=1 TO 25 :LPRINT :NEXT I :GOTO *B1
7010 Q=MIX
7015 TEMPA=TAIR :GOSUB *HIJU
7020 IF Q=0 THEN FLOW=0:GOTO *AA
7030 FLOW=1/(Z(2)+Z(0)/Q+Z(1)*TAIR/Q)/HIJU
7040 *AA:GOSUB *VAN
7050 POINT(138,(399-(VAN-MIY)*CPY))
7055 FOR J=0 TO 499
7060 Q=J/CPX+MIX
7070 IF Q=0 THEN FLOW=0:GOTO *BB
7080 FLOW=1/(Z(2)+Z(0)/Q+Z(1)*TAIR/Q)/HIJU
7084 *BB: GOSUB *VAN
7090 GOSUB *DF
7100 LINE-((138+J),(399-(VAN-MIY)*CPY)),7, ,
7110 NEXT J
7120 GOTO 7000
8000 **** SUB ROUTINE ****
8010 *FLOW
8020 FLOW=389.805+163.752*VAN-.784374*VAN^2
8030 RETURN
8050 *VAN
8060 VAN=1.91372-.0021396*FLOW+4.33866E-06*FLOW^2-7.77392E-10*FLOW^3+5.03281E-14*FLOW^4
8070 RETURN
8200 *DF
8210 FLOW1=FLOW
8220 GOSUB *VAN
8240 GOSUB *FLOW
8250 DFLOW=FLOW1-FLOW :IF ABS(DFLOW)<.1 THEN 8290
8260 VAN=VAN+DFLOW/(163.752-2*.784374*VAN) :GOTO 8240
8290 RETURN
8500 *HIJU :HIJU=1.25243-4.47978E-03*TEMPA+1.13097E-05*TEMPA*TEMPA :RETURN
9999 ****
10000 VAN=0 :VANN=0
10003 FOR I=0 TO 100 STEP 10
10005 VAN=I:VANN=VAN:GOSUB *FLOW :FLOW2=FLOW
10010 GOSUB *DF :LPRINT I,VANN,FLOW,VAN
10015 NEXT I
10020 STOP
24999 **** DATA FILE READING ****
25000 FL$="CYCLE1"
25010 OPEN FL$ AS #1
25020 FOR I=1 TO 85
25030 INPUT# 1,HEAD$(I),DAT$(I),TIM$(I)
25040 INPUT# 1,X(I,37),X(I,38),X(I,39),X(I,40),X(I,41),X(I,42),X(I,63),X(I,64),X(I,65),X(I,66),
   X(I,89),X(I,97),X(I,98)
25060 NEXT I
25080 CLOSE#1
25099 **** DATA CONTROL ****
25100 *SSS
26000 N=0
26010 INPUT "WHICH CYCLE 11 OR 13";NCYCLE
26020 IF NCYCLE=11 THEN NS1=1:NE1=51 ELSE NS1=52:NE1=85
26030 N1=NE1-NS1+1
26040 PRINT "1 COOLER A1"
26050 PRINT "2 COOLER A2"
26060 PRINT "3 COOLER B1"
26070 PRINT "4 COOLER B2"
26080 *BBBB :N=N+1 :IF N=5 THEN *SSS
26090 NV=62+N :M1=2
26100 ON N GOTO *A11,*A22,*B11,*B22
26110 *A11:NQ=97:NTI=37:NTO=39:LPRINT "CYCLE ";NCYCLE , "COOLER A1":GOTO 26150
26120 *A22:NQ=97:NTI=37:NTO=40:LPRINT "CHCLE ";NCYCLE , "COOLER A2":GOTO 26150
26130 *B11:NQ=98:NTI=38:NTO=41:LPRINT "CYCLE ";NCYCLE , "COOLER B1":GOTO 26150
26140 *B22:NQ=98:NTI=38:NTO=42:LPRINT "CYCLE ";NCYCLE , "COOLER B2":GOTO 26150
26150 FOR I=NS1 TO NE1
26160 II=I-NS1
26170 VAN=X(I,NV)
26180 GOSUB *FLOW
26190 TEMPA=X(I,89):GOSUB *HIJU
26200 Y1(II)=1/FLOW/HIJU
26210 X1(II,0)=1/X(I,NQ)
26220 X1(II,1)=X(I,89)/X(I,NQ)
26230 PRINT Y1(II),X1(II,0),X1(II,1)
26240 NEXT I
27000 GOTO 5000

```

付録2 データ・ベース
(今回の評価作業で使用したデータ)

データの順序

サイクルNo. 年 月 日 時間
C12E01 8 6 1 0 2 6 0925

データ

A ループA/C 入口温度 X (I, 37)	B ループA/C 入口温度 X (I, 38)	1 A A/C出口温度 X (I, 39)	2 A A/C出口温度 X (I, 40)	1 B A/C出口温度 X (I, 41)
2 B A/C出口温度 X (I, 42)	1 A 主送風機ペーン開度 X (I, 63)	2 A ペーン開度 X (I, 64)	1 B ペーン開度 X (I, 65)	2 B A/Cペーン開度 X (I, 66)
外気温度 X (I, 89)	2 次系A ループ除熱量 X (I, 97)	2 次系B ループ除熱量 X (I, 98)		

41.5	C12E01 457.7 15.88	861026 469.8 49.2406	0925 333.2 46.9041	334.5	349.5	351	59.5	55.1	39.4
	C12E02 454.1 16.53	861026 465 47.2149	1006 334.8 44.5977	336	350.9	351.7	48.4	46.2	34
36.2	C12E03 448.5 18.25	861026 460.5 44.5348	1106 336 42.5225	337.5	351.4	352.5	38.6	37.9	30.6
	C12E04 444 19.01	861026 454.8 42.1365	1151 337.5 39.884	339	352.5	353.5	32.3	32.8	26.8
32.6	C12E05 440.1 19.04	861026 451.5 40.1249	1241 339 38.3228	340.2	352.7	354	28.4	29.4	24.3
	C12E06 435.2 19.14	861026 445.5 37.7608	1329 340.5 35.7595	341	354	355	25.1	25.7	21.8
28.8	C12E07 430.5 18.81	861026 440.8 35.2678	1418 342 33.5433	343.1	354.7	355.5	19.9	21.1	18.3
	C12E08 424.6 18.06	861026 433.5 32.1182	1510 343.7 30.1843	345.1	355.7	357	16.2	17.6	14.9
25.8	C12E09 420.7 17.6	861026 429.2 29.9834	1554 345 28.2497	346.5	356.9	357.3	13.6	14.9	13.1
	C12E10 417 17.33	861026 424.6 27.9279	1640 346.5 26.1418	348	357.1	358.5	11.8	13.4	11.4

	C12E11	861026	1727							
10	412.6	420	348.5	349.5	358.5	359.1	9.6	10.7	9.4	
	16.97	25.4784	24.0148							
	C12E20	861027	1332							
	412.5	420	348.1	349.5	358.5	360	9.6	11.2	10.1	
10.8	14.58	25.4392	23.9539							
	C12E21	861028	0926							
	411.8	419.7	348	349.5	358.5	360	9.4	10.7	9.4	
9.9	14.04	25.286	23.936							
	C12E22	861028	1022							
	417.1	424.8	346.5	348	357	358.5	12.3	13.6	11.9	
12.7	15.35	27.9047	26.2389							
	C12E23	861028	1103							
	421.5	430.5	345	346.3	356.7	357.3	14.4	15.5	13.9	
14.8	17.1	30.3942	28.7947							
	C12E24	861028	1152							
	426.4	436.4	343.1	344	355.5	356.9	17.5	18.4	16.3	
17.4	17.02	33.1215	31.4873							
	C12E25	861028	1242							
	431.4	441	342	342.6	354.1	355.5	20.7	21.9	18.7	
20	16.52	35.605	33.6082							
	C12E26	861028	1405							
	436.4	447	339.7	340.8	354	354.8	24.7	25.4	21.5	
23	16.9	38.323	36.3826							
	C12E27	861028	1519							
	439.5	450	339	340.5	352.5	354	27.1	28.1	23.6	
24.9	16.52	39.8215	37.8608							
	C12E28	861028	1628							
	445.4	456.3	337.4	338.5	352	352.9	32.7	33.1	27.3	
28.9	15.09	42.9475	40.6824							
	C12E29	861028	1718							
	450	462	336	337.4	351	352.5	39.1	38.3	30.7	
32.5	14.49	45.2384	43.1853							
	C12E30	861028	1812							
	454.8	466.5	334.5	335.9	350.6	351.4	48.2	46.4	34.9	
36.9	14.14	47.6491	45.2906							
	C12E31	861028	1925							
	459.7	472.3	333.1	334.5	349.5	351	62	56.8	41.2	
42.5	13.76	50.1015	48.023							
	C11E01	860819	1027							
	457.3	471	333.3	334.5	349.6	351	66.3	62.4	45.2	
48.1	22.61	48.9662	46.3149							
	C11E02	860819	1149							
	449.7	462	336	337.5	351.4	352.5	43.2	42.2	33.9	
36.2	22.92	45.0092	42.249							
	C11E03	860819	1343							
	439.4	451.5	339	340.4	353.6	354	28.9	30	25.6	
27.5	23.2	39.7702	37.4985							
	C11E04	860819	1522							
	431.3	442.5	341.9	343.1	354.7	355.5	21.9	23.1	19.7	
21.6	22.82	35.4287	33.5027							

	C11E05	860819	1711							
16	421.4	430.5	345.3							
	22.48	30.2336	28.1769	346.5	357	358	14.5	16.1	14.3	
	C11E06	860819	1848							
	413.6	421.5	348.3							
11.4	22.55	25.9098	24.1902	349.5	358.5	358.7	10.3	12.2	10.5	
	C11E07	860820	1358							
	412.6	421.5	348.1							
12.4	26.24	25.5389	24.1312	349.5	358.5	359.2	10.8	12.5	11.2	
	C11E10	860819	1106							
	454.3	467.4	334.7							
41.4	22.39	47.2224	44.6213	336	351	351.4	53.9	52.4	39	
	C11E11	860819	1246							
	444	456	337.5							
30.6	22.93	41.9554	39.5129	339	352.5	353.3	33.2	34.2	28.2	
	C11E12	860819	1435							
	436.2	447.5	340.5							
24.9	22.46	38.1139	35.7884	341.3	354	354.9	25.4	27	22.8	
	C11E13	860819	1626							
	425.3	436	343.8							
18.5	22.51	32.3818	30.7094	345	355.5	357	17.8	19.3	16.4	
	C11E14	860819	1802							
	417	426	346.5							
13.7	22.27	27.9463	26.2411	348	357.1	358.5	13	14.4	12.6	
	C11B01	860707	1129							
	460.2	472.9	333							
48.7	19.12	50.2142	47.2674	334.5	349.5	350.8	66.8	61.9	46.5	
	C11B02	860707	1026							
	454.6	467.9	334.5							
40.4	18.96	47.324	45.1157	336	350.1	351.1	50.9	49.1	38.5	
	C11B03	860707	0926							
	449	462	335.6							
34.8	18.91	45.0061	42.5506	336.8	351	352.2	40	39.7	32.9	
	C11B04	860706	2220							
	451.3	463.5	335.7							
36	19	45.7256	42.9444	336.8	351	352.5	43.2	42.1	34.2	
	C11B05	860706	2112							
	445.5	457.5	337.3							
31.3	19.36	42.8443	40.2983	338.4	351.7	352.6	34.7	34.9	29.3	
	C11B06	860706	2011							
	441	452.9	338.5							
27.8	19.7	40.5577	38.2299	339.5	352.5	353.9	29.9	30.5	26	
	C11B07	860706	1907							
	436.4	447	339.8							
24.2	19.88	38.1512	35.6268	340.9	353.7	354.7	25.5	26.2	22.7	
	C11B08	860706	1823							
	432.2	442.6	340.9							
21.7	20.12	36.0398	33.6612	342	354	355.5	23	23.6	20.4	
	C11B09	860706	1732							
	426.6	436.5	343.5							
18.5	20.38	33.0519	30.9148	344.4	355.5	356.7	18.2	19.3	17.2	

	C13B19	870905	1009							
	453	466.3	335.2							
42.3	22.8	47.4807	45.1774	336	349.5	351	57.2	52.8	42	
	C13B20	870905	1112							
	455.9	469.5	334.5							
48.1	23.1	48.7612	46.5883	335.6	349.5	350.8	68	61.1	47.4	
	C13M01	870910	1405							
	454.5	468	334.5							
46.6	23.6	48.3283	46.0442	335.1	349.5	350.9	65.4	59.3	46.1	
	C13M02	870910	1450							
	455	467.9	334.3							
47	23.9	48.6044	46.0781	334.9	349.5	351	69.7	62.4	46.6	
	C13M03	870910	0040							
	454.6	468	334.5							
40.7	17.1	48.3298	46.0398	334.9	349.5	350.9	57.2	52.9	40.7	
	C13M04	870919	0856							
	454.6	468	334.5							
42.8	18.5	48.4054	46.0805	335.3	349.5	350.9	58.6	54.6	42.8	
	C13M05	870910	1325							
	455	468	334.4							
46	21.2	48.5285	46.0035	335	349.5	351	66	59.7	45.7	
	C13M06	870910	2205							
	454.8	468.1	334.5							
43.6	18.3	48.412	46.0059	335.1	349.4	351	60.5	55.4	43.4	
	C13M07	870910	1316							
	454.5	468	334.4							
47.8	24.3	48.4453	46.194	334.8	349.5	351	68.7	61.5	47.3	
	C13M08	870910	1035							
	455.3	468.7	334.5							
47.6	23.2	48.6844	46.3111	334.9	349.5	351	69.6	62.2	47.1	
	C13M09	870910	0958							
	454.2	466.5	334.5							
44.6	23.1	48.2856	45.6117	335	349.5	351	64.4	58.7	44.3	
	C13M10	870910	0907							
	454.4	466.8	334.5							
44.9	23.3	48.3644	45.6874	335.3	349.5	350.9	64.2	59	44.7	
	C14B10	871130	1416							
	411	417	349.5							
9.2	6.9	25.0243	22.7211	350.2	357.9	358.6	10	10.1	7.8	
	C14B11	871130	1502							
	415.5	423	347.5							
11.1	6.7	27.5577	25.3398	348	357	358.5	12	11.9	9.7	
	C14B12	871130	1547							
	420	427.6	345.4							
13.3	6.8	30.0011	27.4493	346.5	355.8	357	13.7	14.1	11.9	
	C14B13	871130	1624							
	424.6	432.9	343.7							
15.2	6.8	32.4778	29.9178	345	355.5	356.9	16.7	16.7	13.6	
	C14B14	871130	1703							
	429.8	438.5	342							
18.2	6.9	35.2956	32.4083	343.3	354	355.5	19.2	18.9	15.9	

	C14B15	871130	1744						
	434.4	443.1	340.6						
20	7.1	37.6418	34.625	342	353.8	354.4	22.8	22.5	18.8
	C14B16	871130	1825						
	438.6	448.5	339.4	340.5	352.5	354	25.4	25.3	20.8
22.1	7.5	39.8311	36.9878						
	C14B17	871130	1905						
	443.1	453.1	337.8	339	352.2	352.7	29.7	29.1	24
25	7.3	42.2218	39.1563						
	C14B18	871130	1956						
	448.4	458.7	336.4	337.5	351	352.5	33.9	32.5	26.9
27.7	5.3	45.005	41.8014						
	C14B19	871201	0940						
	445.7	456.2	337.4	338.1	351.1	352.5	30.4	30.2	24.7
26.1	2.8	43.5493	40.5305						
	C14B20	871201	1034						
	453.1	464.8	335.2	336	350.6	351.1	39.3	38.1	30.6
31.6	3.2	47.2064	44.3632						
	C14B21	871201	1310						
	458.3	469.5	334.2	334.6	349.5	351	49.6	47.3	35
36.2	3.7	49.9864	46.6904						